

Einführung in die Kryptologie

Johannes Köbler



Institut für Informatik
Humboldt-Universität zu Berlin

SS 2020

Produktchiffren

- Produktchiffren erhält man durch die sequentielle Anwendung mehrerer Verschlüsselungsverfahren
- Sie können extrem schwer zu brechen sein, auch wenn die einzelnen Komponenten leicht zu brechen sind

Definition

- Seien $KS_1 = (M_1, C_1, E_1, D_1, K_1, S_1)$ und $KS_2 = (M_2, C_2, E_2, D_2, K_2, S_2)$ Kryptosysteme mit $C_1 = M_2$
- Dann ist das **Produktkryptosystem** $KS_1 \times KS_2$ von KS_1 und KS_2 definiert als $(M_1, C_2, E, D, K_1 \times K_2, S)$ mit $S = (S_1, S_2)$ und

$$E(k_1, k_2; x) = E_2(k_2, E_1(k_1, x)) \text{ sowie } D(k_1, k_2; y) = D_1(k_1, D_2(k_2, y))$$
 für alle $x \in M_1, y \in C_2$ und $(k_1, k_2) \in K_1 \times K_2$
- Der Schlüsselraum von $KS_1 \times KS_2$ umfasst also alle Schlüsselpaare $(k_1, k_2) \in K_1 \times K_2$, wobei wir voraussetzen, dass die beiden Schlüssel unabhängig gewählt werden (d.h. es gilt $p(k_1, k_2) = p(k_1)p(k_2)$)

Beispiel

- Man sieht leicht, dass die affine Chiffre $KS = (M, C, K, E, D)$ mit $M = C = \mathcal{A} = \{a_0, \dots, a_{m-1}\}$ und $K = \mathbb{Z}_m^* \times \mathbb{Z}_m$ das Produkt der
 - multiplikativen Chiffre $KS_1 = (M, C, K_1, E_1, D_1)$ und der
 - additiven Chiffre $KS_2 = (M, C, K_2, E_2, D_2)$ ist
- Für jeden Schlüssel $(k_1, k_2) \in K = K_1 \times K_2 = \mathbb{Z}_m^* \times \mathbb{Z}_m$ gilt
$$E(k_1, k_2; x) = k_1x + k_2 = E_2(k_2, E_1(k_1, x))$$
- Das ist exakt die affine Chiffre!
- Welche Chiffre ergibt sich, wenn wir die Reihenfolge von KS_1 und KS_2 vertauschen?

Beispiel (Fortsetzung)

- Für $KS_2 \times KS_1$ erhalten wir das Kryptosystem $KS' = (M, C, K', E', D')$, in dem für jeden Schlüssel $(k_2, k_1) \in K' = K_2 \times K_1 = \mathbb{Z}_m \times \mathbb{Z}_m^*$ gilt
$$E'(k_2, k_1; x) = k_1(x + k_2) = k_1x + k_1k_2 = E(k_1, k_1k_2; x)$$
- Die Abbildung $(k_2, k_1) \mapsto (k_1, k_1k_2)$ ist also eine Bijektion zwischen den Schlüsselräumen K' und K und der Schlüssel (k_2, k_1) realisiert in KS' die gleiche Chiffrierfunktion wie der Schlüssel (k_1, k_1k_2) in KS
- Zudem können wir jeden Schlüsselgenerator S' für KS' in einen Schlüsselgenerator S für KS transformieren (und auch S wieder zurück in S'), so dass S in KS jede Chiffrierfunktion mit der gleichen Wahrscheinlichkeit erzeugt wie S' in KS'
- Daher können wir die Kryptosysteme $KS = KS_1 \times KS_2$ und $KS' = KS_2 \times KS_1$ als gleich (genauer: äquivalent, siehe Übungen) ansehen, d.h. KS_1 und KS_2 kommutieren

Definition

- Ein Kryptosystem $KS = (M, C, K, D, E)$ mit $M = C$ heißt **endomorph**
- Ein endomorphes Kryptosystem KS heißt **idempotent**, falls $KS \times KS$ äquivalent zu KS ist (in Zeichen: $KS \times KS = KS$)

Beispiel

- Eine leichte Rechnung zeigt, dass
 - die additive Chiffre,
 - die multiplikative Chiffre und
 - die affine Chiffre idempotent sind
- Dies trifft auch auf
 - die Blocktransposition sowie
 - die Vigenère- und Hill-Chiffrezu (siehe Übungen)

- Will man durch mehrmalige Anwendung (Iteration) derselben Chiffre eine höhere Sicherheit erreichen, so darf diese nicht idempotent sein
- Man kann versuchen, durch Kombination zweier idempotenter Systeme KS_1 und KS_2 ein System $KS = KS_1 \times KS_2$ zu erhalten, das nicht idempotent ist
- Da KS im Fall $KS_1 \times KS_2 = KS_2 \times KS_1$ wegen

$$\begin{aligned}(KS_1 \times KS_2) \times (KS_1 \times KS_2) &= KS_1 \times (KS_2 \times KS_1) \times KS_2 \\ &= KS_1 \times (KS_1 \times KS_2) \times KS_2 \\ &= (KS_1 \times KS_1) \times (KS_2 \times KS_2) \\ &= KS_1 \times KS_2\end{aligned}$$

idempotent ist, dürfen hierbei KS_1 und KS_2 jedoch nicht kommutieren

- Ab jetzt werden wir nur noch Blockchiffren über dem Binäralphabet $A = \{0, 1\}$ betrachten und auch der Schlüsselraum wird von der Form $\{0, 1\}^k$ sein, wobei k die Schlüssellänge bezeichnet (einzelne Schlüssel eines Kryptosystems werden wir bis auf weiteres mit K bezeichnen)
- Eine **iterierte Blockchiffre** wird durch eine **Rundenfunktion** (*round function*) g und einen **Key-Schedule Algorithmus** f beschrieben
- Ist N die Rundenzahl, so erzeugt f bei Eingabe eines Schlüssels K eine Folge $f(K) = (K^1, \dots, K^N)$ von N Rundenschlüsseln K^i für g

Iterierte Blockchiffren

- Mit diesen wird ein Klartext $x = w^0$ durch N -malige Anwendung der Rundenfunktion g zu einem Kryptotext $y = w^N$ verschlüsselt:

$$w^1 := g(K^1, w^0)$$

$$\vdots$$

$$w^N := g(K^N, w^{N-1})$$

- Um y wieder zu entschlüsseln, muss die inverse Rundenfunktion g^{-1} mit umgekehrter Rundenschlüsselreihe K^N, \dots, K^1 benutzt werden:

$$w^{N-1} := g^{-1}(K^N, w^N)$$

$$\vdots$$

$$w^0 := g^{-1}(K^1, w^1)$$

- Beispiele für iterierte Chiffren sind der aus 16 Runden bestehende DES-Algorithmus und der AES mit einer variablen Rundenzahl $N \in \{10, 12, 14\}$, die wir später behandeln werden

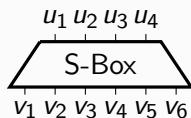
- Als Basisbausteine für die Rundenfunktion von iterierten Blockchiffren eignen sich Substitutionen und Transpositionen besonders gut
- Aus Effizienzgründen sollten die Substitutionen nur eine relativ kleine Blocklänge ℓ haben

Definition

- Für ein Wort $u = u_1 \cdots u_n \in \{0, 1\}^n$ und Indizes $1 \leq i \leq j \leq n$ bezeichne $u[i, j]$ das **Teilwort** $u_i \cdots u_j$ von u
- Im Fall $n = ml$ bezeichnen wir das Teilwort $u[(i-1)l + 1, il]$ auch einfach mit $u_{(i)}$, d.h. es gilt $u = u_{(1)} \cdots u_{(m)}$, wobei $|u_{(i)}| = l$ ist

Substitutions-Permutations-Netzwerke

- Sei $\sigma_S : \{0, 1\}^l \rightarrow \{0, 1\}^{l'}$ eine Substitution, die Binärblöcke u der Länge l in Blöcke $v = \sigma_S(u)$ der Länge l' überführt (auch **S-Box** S genannt)



- Für $\sigma_S(u)$ schreiben wir auch einfach $S(u)$
- Durch parallele Anwendung von m Kopien der S-Box S erhalten wir die Substitution $\sigma_{mS} : \{0, 1\}^{ml} \rightarrow \{0, 1\}^{ml'}$ mit

$$\sigma_{mS}(u_1 \cdots u_{ml}) = \sigma_S(u_{(1)}) \cdots \sigma_S(u_{(m)})$$

- Auch hier schreiben wir für $\sigma_{mS}(u_1 \cdots u_{ml})$ auch einfach $S(u_1 \cdots u_{ml})$
- Für die Speicherung einer S-Box S mit $\sigma_S : \{0, 1\}^l \rightarrow \{0, 1\}^{l'}$ auf einem Chip werden $l' \cdot 2^l$ Bit Speicherplatz benötigt (im Fall $l = l'$ also $l2^l$ Bit)
- Für $l = l' = 16$ wären dies beispielsweise 2^{20} Bit, was Smartcard-Anwendungen bereits ausschließen würde
- Für eine Transposition P auf $\{0, 1\}^\ell$ bezeichnen wir die zugehörige Permutation auf $[\ell]$ mit π_P oder einfach mit π , falls P aus dem Kontext bekannt ist, d.h. $P(u_1 \cdots u_\ell) = u_{\pi(1)} \cdots u_{\pi(\ell)}$

Definition

- Für natürliche Zahlen $m, l \geq 1$ sei $M = C = \{0, 1\}^\ell$ mit $\ell = ml$
- Ein **Substitutions-Permutations-Netzwerk (SPN)** wird durch eine S-Box S , eine Blocktransposition P mit Blocklänge $\ell = ml$ und durch eine Funktion $f : \{0, 1\}^k \rightarrow \{0, 1\}^{\ell(N+1)}$ beschrieben
- Hierbei realisiert die S-Box S eine Permutation σ_S auf $\{0, 1\}^l$ und N ist die **Rundenzahl** des SPN
- Die Funktion f transformiert einen (externen) Schlüssel $K \in \{0, 1\}^k$ in ein **Key-Schedule** $f(K) = (K^1, \dots, K^{N+1})$ von $N + 1$ **Rundenschlüsseln**
- Unter ihnen wird ein Klartext $x \in \{0, 1\}^\ell$ durch folgenden Chiffrieralgorithmus in einen Kryptotext $y = E_{f,S,P}(K, x) \in \{0, 1\}^\ell$ überführt:

1 $w^0 := x$

2 **for** $r := 1$ **to** $N - 1$ **do**

3 $u^r := w^{r-1} \oplus K^r$

4 $v^r := \sigma_{mS}(u^r)$

5 $w^r := P(v^r)$

6 $u^N := w^{N-1} \oplus K^N$

7 $v^N := \sigma_{mS}(u^N)$

8 $y := v^N \oplus K^{N+1}$

Die Chiffrierfunktion $E_{f,S,P}(K, x)$

- Zu Beginn jeder Runde $r \in \{1, \dots, N\}$ wird w^{r-1} zunächst einer XOR-Operation mit dem Rundenschlüssel K^r unterworfen (*round key mixing*), deren Resultat u^r den S-Boxen zugeführt wird
 - Auf die Ausgabe v^r der S-Boxen wird in jeder Runde $r \leq N - 1$ die Transposition P angewendet, was die Eingabe w^r für die nächste Runde $r + 1$ liefert
 - Am Ende der letzten Runde $r = N$ wird nicht die Transposition P angewandt, sondern der Rundenschlüssel K^{N+1} auf v^N addiert
 - Dies wird *whitening* genannt und bewirkt, dass auch für den letzten Chiffrierschritt der Schlüssel benötigt und somit der Gegner an einer partiellen Entschlüsselung des Kryptotexts gehindert wird
 - Zudem wird dadurch eine (legale) Entschlüsselung nach fast demselben Verfahren ermöglicht (siehe Übungen)
- ```
1 $w^0 := x$
2 for $r := 1$ to $N - 1$ do
3 $u^r := w^{r-1} \oplus K^r$
4 $v^r := S(u^r)$
5 $w^r := P(v^r)$
6 $u^N := w^{N-1} \oplus K^N$
7 $v^N := S(u^N)$
8 $y := v^N \oplus K^{N+1}$
```

## Beispiel

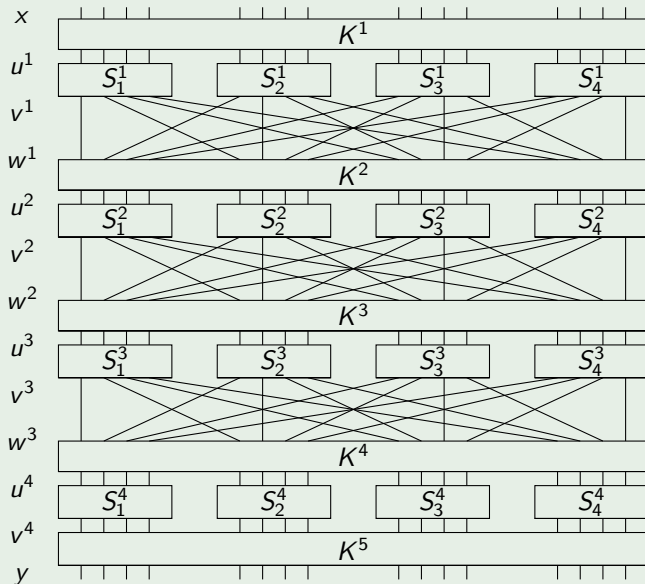
- Wir betrachten ein SPN  $SP$  mit Parametern  $l = m = N = 4$  und  $k = 32$
- Für  $f$  wählen wir die Funktion  $f(K) = (K^1, \dots, K^5)$  mit  
 $K^r = K[4(r-1) + 1, 4(r-1) + 16]$
- Weiter seien  $\sigma_S : \{0, 1\}^4 \rightarrow \{0, 1\}^4$  und  $\sigma_P : \{1, \dots, 16\} \rightarrow \{1, \dots, 16\}$  die folgenden Permutationen (wobei die Argumente und Werte von  $\sigma_S$  hexadezimal dargestellt sind:

|               |   |   |   |   |   |   |   |   |   |   |   |   |   |   |   |   |
|---------------|---|---|---|---|---|---|---|---|---|---|---|---|---|---|---|---|
| $z$           | 0 | 1 | 2 | 3 | 4 | 5 | 6 | 7 | 8 | 9 | A | B | C | D | E | F |
| $\sigma_S(z)$ | E | 4 | D | 1 | 2 | F | B | 8 | 3 | A | 6 | C | 5 | 9 | 0 | 7 |

und

|               |   |   |   |    |   |   |    |    |   |    |    |    |    |    |    |    |
|---------------|---|---|---|----|---|---|----|----|---|----|----|----|----|----|----|----|
| $i$           | 1 | 2 | 3 | 4  | 5 | 6 | 7  | 8  | 9 | 10 | 11 | 12 | 13 | 14 | 15 | 16 |
| $\sigma_P(i)$ | 1 | 5 | 9 | 13 | 2 | 6 | 10 | 14 | 3 | 7  | 11 | 15 | 4  | 8  | 12 | 16 |

## Beispiel (Fortsetzung)



## Beispiel (Schluss)

- Für den Schlüssel  $K = 0011\ 1010\ 1001\ 0100\ 1101\ 0110\ 0011\ 1111$  liefert  $f$  beispielsweise die Rundenschlüssel  $f(K) = (K^1, \dots, K^5)$  mit

$$K^1 = 0011\ 1010\ 1001\ 0100 \quad K^2 = 1010\ 1001\ 0100\ 1101$$

$$K^3 = 1001\ 0100\ 1101\ 0110 \quad K^4 = 0100\ 1101\ 0110\ 0011$$

$$K^5 = 1101\ 0110\ 0011\ 1111$$

unter denen der Klartext  $x = 0010\ 0110\ 1011\ 0111$  die folgenden Chiffrierschritte durchläuft:

$$x = 0010\ 0110\ 1011\ 0111 = w^0$$

$$w^0 \oplus K^1 = 0001\ 1100\ 0010\ 0011 = u^1$$

$$S(u^1) = 0100\ 0101\ 1101\ 0001 = v^1$$

$$P(v^1) = 0010\ 1110\ 0000\ 0111 = w^1$$

$$\vdots$$

$$P(v^3) = 1110\ 0100\ 0110\ 1110 = w^3$$

$$w^3 \oplus K^4 = 1010\ 1001\ 0000\ 1101 = u^4$$

$$S(u^4) = 0110\ 1010\ 1110\ 1001 = v^4$$

$$u^4 \oplus K^5 = 1011\ 1100\ 1101\ 0110 = y$$

## Lineare Approximationen

- Sei  $\sigma_S : \{0, 1\}^l \rightarrow \{0, 1\}^{l'}$  die funktionale Beschreibung einer S-Box  $S$
- Wählen wir die Eingabe  $U = U_1 \cdots U_l$  zufällig unter Gleichverteilung, so gilt für die zugehörige Ausgabe  $V = \sigma_S(U) = V_1 \cdots V_{l'}$ ,

$$\Pr[V = v \mid U = u] = \begin{cases} 1 & \sigma_S(u) = v, \\ 0 & \text{sonst} \end{cases} \quad \begin{array}{l} \text{für alle } u \in \{0, 1\}^l \\ \text{und } v \in \{0, 1\}^{l'} \end{array}$$

- Wegen  $\Pr[U = u] = 2^{-l}$  folgt

$$\Pr[V = v, U = u] = \begin{cases} 2^{-l} & \sigma_S(u) = v, \\ 0 & \text{sonst} \end{cases}$$

- Wir nennen eine S-Box  $S$  **linear**, wenn  $\sigma_S$  eine lineare Funktion ist, d.h.  $\sigma_S(u) = uA$  für eine binäre  $(l' \times l)$ -Matrix  $A$
- In diesem Fall ist jedes Ausgabebit  $v_j$  in der Form  $v_j = u_{i_1} \oplus \cdots \oplus u_{i_k}$  mit  $1 \leq i_1 < \cdots < i_k \leq l$  darstellbar
- Folglich gilt  $\Pr[V_j = U_{i_1} \oplus \cdots \oplus U_{i_k}] = 1$



## Lineare Approximationen

- Die Idee bei der linearen Kryptoanalyse ist nun, Gleichungen der Form

$$V_{j_1} \oplus \cdots \oplus V_{j_{k'}} = U_{i_1} \oplus \cdots \oplus U_{i_k} \oplus c$$

mit  $1 \leq i_1 < \cdots < i_k \leq l$ ,  $1 \leq j_1 < \cdots < j_{k'} \leq l'$  und  $c \in \{0, 1\}$  zu finden, die mit großer Wahrscheinlichkeit gelten

- Definieren wir für  $a \in \{0, 1\}^l$  und  $b \in \{0, 1\}^{l'}$  die Zufallsvariablen

$$U_a = \bigoplus_{i=1}^l a_i U_i \quad \text{und} \quad V_b = \bigoplus_{i=1}^{l'} b_i V_i,$$

so suchen wir also nach Werten für  $a$ ,  $b$  und  $c$ , für die das Ereignis  $V_b = U_a \oplus c$  (oder  $U_a \oplus V_b = c$ ) mit großer Wahrscheinlichkeit eintritt

- In diesem Fall lässt sich nämlich der Wert von  $V_b$  bei Kenntnis von  $U_a$  entsprechend gut vorhersagen
- Wegen  $\Pr[U_a \oplus V_b = c] = 1 - \Pr[U_a \oplus V_b = c \oplus 1]$  kommt es nur darauf an, wie stark die Wahrscheinlichkeit  $\Pr[U_a \oplus V_b = 0]$  von  $1/2$  abweicht
- Die durch das Paar  $(a, b)$  beschriebene **lineare Approximation**  $U_a \oplus V_b$  an die S-Box ist also um so besser, je größer  $|\Pr[U_a \oplus V_b = 0] - 1/2|$  ist

## Definition

- Für eine Zufallsvariable  $X$  mit Wertebereich  $W(X) = \{0, 1\}$  bezeichne  $\varepsilon(X)$  den Wert  $\varepsilon(X) = \Pr[X = 0] - 1/2$  (auch **Bias** von  $X$  genannt)
- Sei  $\sigma_S : \{0, 1\}^l \rightarrow \{0, 1\}^{l'}$  die funktionale Beschreibung einer S-Box  $S$  und sei  $U_a \oplus V_b$  eine durch  $(a, b) \in \{0, 1\}^l \times \{0, 1\}^{l'}$  beschriebene lineare Approximation an  $S$
- Dann ist die **Güte** von  $U_a \oplus V_b$  definiert als der Absolutbetrag  $|\varepsilon(U_a \oplus V_b)|$  des Bias-Wertes von  $U_a \oplus V_b$

## Lineare Approximationen

## Beispiel

- Wir betrachten wieder die S-Box  $S$  aus dem letzten Beispiel
- Dann nimmt die Zufallsvariable  $(U_1, \dots, U_4, V_1, \dots, V_4)$  die 16 Werte in folgender Tabelle jeweils mit Wahrscheinlichkeit  $2^{-4} = 1/16$  an

| $U_1$ | $U_2$ | $U_3$ | $U_4$ | $V_1$ | $V_2$ | $V_3$ | $V_4$ | $U_3 \oplus U_4 \oplus V_1 \oplus V_4$ |
|-------|-------|-------|-------|-------|-------|-------|-------|----------------------------------------|
| 0     | 0     | 0     | 0     | 1     | 1     | 1     | 0     | 1                                      |
| 0     | 0     | 0     | 1     | 0     | 1     | 0     | 0     | 1                                      |
| 0     | 0     | 1     | 0     | 1     | 1     | 0     | 1     | 1                                      |
| 0     | 0     | 1     | 1     | 0     | 0     | 0     | 1     | 1                                      |
| 0     | 1     | 0     | 0     | 0     | 0     | 1     | 0     | 0                                      |
| 0     | 1     | 0     | 1     | 1     | 1     | 1     | 1     | 1                                      |
| 0     | 1     | 1     | 0     | 1     | 0     | 1     | 1     | 1                                      |
| 0     | 1     | 1     | 1     | 1     | 0     | 0     | 0     | 1                                      |
| 1     | 0     | 0     | 0     | 0     | 0     | 1     | 1     | 1                                      |
| 1     | 0     | 0     | 1     | 1     | 0     | 1     | 0     | 0                                      |
| 1     | 0     | 1     | 0     | 0     | 1     | 1     | 0     | 1                                      |
| 1     | 0     | 1     | 1     | 1     | 1     | 0     | 0     | 1                                      |
| 1     | 1     | 0     | 0     | 0     | 1     | 0     | 1     | 1                                      |
| 1     | 1     | 0     | 1     | 1     | 0     | 0     | 1     | 1                                      |
| 1     | 1     | 1     | 0     | 0     | 0     | 0     | 0     | 1                                      |
| 1     | 1     | 1     | 1     | 0     | 0     | 0     | 0     | 1                                      |

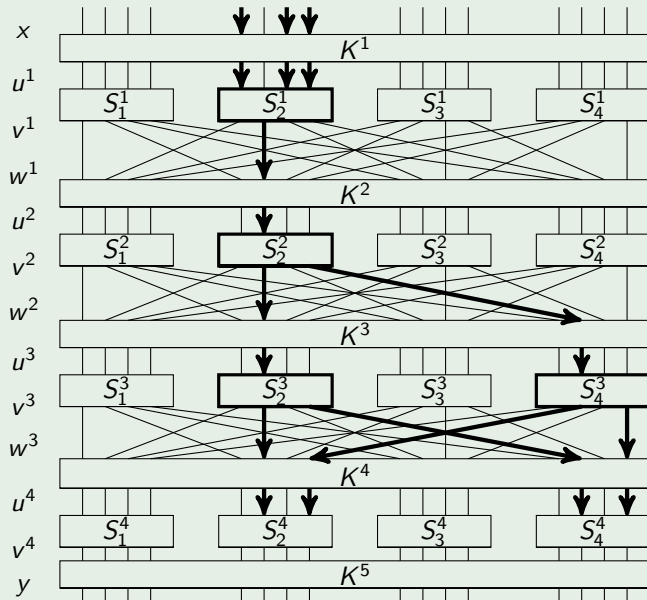
## Beispiel (Fortsetzung)

- Um nun  $\varepsilon(U_a \oplus V_b)$  zu berechnen, genügt es, die Anzahl  $L(a, b)$  der Zeilen zu bestimmen, für die  $U_a = V_b$  ist
- Dann gilt  $\Pr[U_a \oplus V_b = 0] = \Pr[U_a = V_b] = L(a, b)/16$  und somit
$$\varepsilon(U_a \oplus V_b) = L(a, b)/16 - 1/2 = (L(a, b) - 8)/16$$
- Für  $a = 0011$  und  $b = 1001$  gibt es z.B.  $L(a, b) = 2$  Zeilen (Zeile 5 und Zeile 10) mit  $U_a = U_3 \oplus U_4 = V_b = V_1 \oplus V_4$ , d.h.
$$\varepsilon(U_3 \oplus U_4 \oplus V_1 \oplus V_4) = (L(a, b) - 8)/16 = -(3/8)$$
- Die folgende Tabelle zeigt für alle Werte von  $a$  und  $b$  (hexadezimal dargestellt) die Anzahlen  $L(a, b)$

## Beispiel (Schluss)

|          |    | <i>b</i> |   |   |    |   |    |    |    |          |    |    |    |    |    |    |  |
|----------|----|----------|---|---|----|---|----|----|----|----------|----|----|----|----|----|----|--|
| <i>a</i> | 0  | 1        | 2 | 3 | 4  | 5 | 6  | 7  | 8  | 9        | A  | B  | C  | D  | E  | F  |  |
| 0        | 16 | 8        | 8 | 8 | 8  | 8 | 8  | 8  | 8  | 8        | 8  | 8  | 8  | 8  | 8  | 8  |  |
| 1        | 8  | 8        | 6 | 6 | 8  | 8 | 6  | 14 | 10 | 10       | 8  | 8  | 10 | 10 | 8  | 8  |  |
| 2        | 8  | 8        | 6 | 6 | 8  | 8 | 6  | 6  | 8  | 8        | 10 | 10 | 8  | 8  | 2  | 10 |  |
| 3        | 8  | 8        | 8 | 8 | 8  | 8 | 8  | 8  | 10 | <b>2</b> | 6  | 6  | 10 | 10 | 6  | 6  |  |
| 4        | 8  | 10       | 8 | 6 | 6  | 4 | 6  | 8  | 8  | 6        | 8  | 10 | 10 | 4  | 10 | 8  |  |
|          |    |          |   |   |    |   |    | ⋮  |    |          |    |    |    |    |    |    |  |
| B        | 8  | 12       | 8 | 4 | 12 | 8 | 12 | 8  | 8  | 8        | 8  | 8  | 8  | 8  | 8  | 8  |  |
|          |    |          |   |   |    |   |    | ⋮  |    |          |    |    |    |    |    |    |  |
| F        | 8  | 6        | 4 | 6 | 6  | 8 | 10 | 8  | 8  | 6        | 12 | 6  | 6  | 8  | 10 | 8  |  |

## Beispiel (Fortsetzung)



# Lineare Kryptoanalyse von SPNs

- Seien  $K^1, \dots, K^5$  die aus  $K$  berechneten Rundenschlüssel (diese sind wie  $K$  unbekannt, aber konstant)
- Das Ziel besteht zunächst einmal darin, eine lineare Approximation für die Abbildung  $x \mapsto u^4$  zu finden, bei der nur die ersten vier Rundenschlüssel  $K^1, \dots, K^4$  benutzt werden
- Hierzu verwenden wir die beiden linearen Approximationen

$$T = U_1 \oplus U_3 \oplus U_4 \oplus V_2 \quad \text{und} \quad T' = U_2 \oplus V_2 \oplus V_4$$

an die S-Box  $S$  mit den Bias-Werten

- $\varepsilon(T) = (L(B, 4) - 8)/16 = (12 - 8)/16 = 1/4$  und
  - $\varepsilon(T') = (L(4, 5) - 8)/16 = (4 - 8)/16 = -1/4$
- (also  $\Pr[T = 0] = \Pr[T' = 1] = 3/4$ )

- Konkret verwenden wir  $T$  für die S-Box  $S_2^1$ :

$$T_1 = U_5^1 \oplus U_7^1 \oplus U_8^1 \oplus V_6^1$$

und  $T'$  für die drei S-Boxen  $S_2^2$ ,  $S_2^3$ ,  $S_4^3$ :

$$T_2 = U_6^2 \oplus V_6^2 \oplus V_8^2, T_3 = U_6^3 \oplus V_6^3 \oplus V_8^3, T_4 = U_{14}^3 \oplus V_{14}^3 \oplus V_{16}^3$$

- Nun schalten wir die vier linearen Approximationen  $T_1, \dots, T_4$  an die S-Boxen  $S_2^1$ ,  $S_2^2$ ,  $S_2^3$  und  $S_4^3$  zu einer linearen Approximation

$$L = \underbrace{X_5 \oplus X_7 \oplus X_8}_{X_a \text{ für } a=0B00} \oplus \underbrace{U_6^4 \oplus U_8^4 \oplus U_{14}^4 \oplus U_{16}^4}_{U_b^4 \text{ für } b=0505} = X_a \oplus U_b^4$$

an die Abbildung  $x \mapsto u^4$  zusammen

- Dann gilt für ein Bit  $c \in \{0, 1\}$  die Gleichung

$$X_a \oplus U_b^4 = T_1 \oplus T_2 \oplus T_3 \oplus T_4 \oplus c$$



- An dieser Stelle ergeben sich nun folgende drei Fragen:
  - ❶ Warum gilt die Gleichung  $L = T_1 \oplus T_2 \oplus T_3 \oplus T_4 \oplus c$ ?
  - ❷ Wie gut ist die lineare Approximation  $L$  an die Abbildung  $x \mapsto u^4$ ?
  - ❸ Wie können wir mit ihrer Hilfe einzelne Schlüsselbits bestimmen?

## Lineare Kryptoanalyse von SPNs

## Antwort auf Frage 1

- Sei  $c = c_1 \oplus c_2 \oplus c_3 \oplus c_4$  mit

$$c_1 = K_5^1 \oplus K_7^1 \oplus K_8^1, \quad c_2 = K_6^2, \quad c_3 = K_6^3 \oplus K_{14}^3, \quad c_4 = K_6^4 \oplus K_8^4 \oplus K_{14}^4 \oplus K_{16}^4$$

- Dann gilt

$$\begin{aligned}
 & X_5 \oplus X_7 \oplus X_8 \\
 &= U_5^1 \oplus U_7^1 \oplus U_8^1 \oplus c_1 \\
 &= T_1 \oplus V_6^1 \oplus c_1 \\
 &= T_1 \oplus W_6^1 \oplus c_1 \\
 &= T_1 \oplus U_6^2 \oplus c_1 \oplus c_2 \\
 &= T_1 \oplus T_2 \oplus V_6^2 \oplus V_8^2 \oplus c_1 \oplus c_2 \\
 &= T_1 \oplus T_2 \oplus W_6^2 \oplus W_{14}^2 \oplus c_1 \oplus c_2 \\
 &= T_1 \oplus T_2 \oplus U_6^3 \oplus U_{14}^3 \oplus c_1 \oplus c_2 \oplus c_3 \\
 &= T_1 \oplus T_2 \oplus T_3 \oplus T_4 \oplus V_6^3 \oplus V_8^3 \oplus V_{14}^3 \oplus V_{16}^3 \oplus c_1 \oplus c_2 \oplus c_3 \\
 &= T_1 \oplus T_2 \oplus T_3 \oplus T_4 \oplus W_6^3 \oplus W_8^3 \oplus W_{14}^3 \oplus W_{16}^3 \oplus c_1 \oplus c_2 \oplus c_3 \\
 &= T_1 \oplus T_2 \oplus T_3 \oplus T_4 \oplus U_6^4 \oplus U_8^4 \oplus U_{14}^4 \oplus U_{16}^4 \oplus \underbrace{c_1 \oplus c_2 \oplus c_3 \oplus c_4}_c
 \end{aligned}$$

## Lineare Kryptoanalyse von SPNs

- Nun zu **Frage 2**: Wären  $T_1, \dots, T_4$  unabhängig, so würde uns das Piling-up-Lemma (siehe unten) folgende Bias-Werte liefern:

$$2^3(1/4)(-1/4)^3 = -1/32 \text{ für } T_1 \oplus \dots \oplus T_4 \text{ und } (-1)^{c+1}/32 \text{ für } L$$

- Sind nämlich  $X_1, X_2$  unabhängige Zufallsvariablen mit Wertebereich  $W(X_i) = \{0, 1\}$  und Bias  $\varepsilon_i = \varepsilon(X_i)$ , dann ist

$$\begin{aligned} \Pr[X_1 \oplus X_2 = 0] &= \Pr[X_1 = X_2 = 0] + \Pr[X_1 = X_2 = 1] \\ &= (1/2 + \varepsilon_1)(1/2 + \varepsilon_2) + (1/2 - \varepsilon_1)(1/2 - \varepsilon_2) \\ &= 1/2 + 2\varepsilon_1\varepsilon_2 \end{aligned}$$

und  $\Pr[X_1 \oplus X_2 = 1] = 1/2 - 2\varepsilon_1\varepsilon_2$ , d.h. es gilt  $\varepsilon(X_1 \oplus X_2) = 2\varepsilon_1\varepsilon_2$

Diese Beobachtung lässt sich wie folgt verallgemeinern

### Lemma (Piling-up Lemma)

Für unabhängige  $\{0, 1\}$ -wertige Zufallsvariablen  $X_1, \dots, X_n$  mit  $\varepsilon_i = \varepsilon(X_i)$  gilt

$$\varepsilon(X_1 \oplus \dots \oplus X_n) = 2^{n-1} \prod_{i=1}^n \varepsilon_i$$

## Lemma (Piling-up Lemma)

Für unabhängige  $\{0, 1\}$ -wertige Zufallsvariablen  $X_1, \dots, X_n$  mit  $\varepsilon_i = \varepsilon(X_i)$  gilt

$$\varepsilon(X_1 \oplus \dots \oplus X_n) = 2^{n-1} \prod_{i=1}^n \varepsilon_i$$

**Beweis.** Wir führen den Beweis durch Induktion über  $n$ :

Induktionsanfang ( $n \leq 2$ ): Bereits bewiesen

Induktionsschritt ( $n \rightsquigarrow n+1$ ): Nach IV hat die Zufallsvariable  $Z = X_1 \oplus \dots \oplus X_n$  den Bias

$$\varepsilon(Z) = 2^{n-1} \varepsilon(X_1) \cdots \varepsilon(X_n)$$

und daher folgt

$$\begin{aligned} \varepsilon(X_1 \oplus \dots \oplus X_{n+1}) &= \varepsilon(Z \oplus X_{n+1}) = 2\varepsilon(Z)\varepsilon_{n+1} \\ &= 2^n \varepsilon_1 \cdots \varepsilon_{n+1} \end{aligned}$$



## Beispiel

- Seien  $X_1, X_2, X_3$  unabhängige Zufallsvariablen mit  $\varepsilon(X_i) = 1/4$  für  $i = 1, 2, 3$
- Dann liefert das Piling-up Lemma die Bias-Werte  $\varepsilon(X_i \oplus X_j) = 1/8$  für  $1 \leq i < j \leq 3$
- Da die Zufallsvariablen  $Y = X_1 \oplus X_2$  und  $Z = X_2 \oplus X_3$  nicht unabhängig sind, lässt sich  $\varepsilon(Y \oplus Z)$  nicht mit dem Piling-up-Lemma bestimmen
- Dieses würde nämlich für  $Y \oplus Z$  einen Bias-Wert von  $2(1/8)^2 = 1/32$  ergeben, wogegen

$$Y \oplus Z = (X_1 \oplus X_2) \oplus (X_2 \oplus X_3) = X_1 \oplus X_3$$

und daher  $\varepsilon(Y \oplus Z) = \varepsilon(X_1 \oplus X_3) = 1/8$  ist



## Antwort auf Frage 2

- Zwar sind die Zufallsvariablen  $T_i$ , aus denen eine lineare Approximation  $X_a \oplus U_b^N = T_1 \oplus \dots \oplus T_k \oplus c$  an die Abbildung  $x \mapsto u^N$  gebildet wird, in der Regel nicht unabhängig
- Dennoch zeigt sich in praktischen Anwendungen, dass der Bias-Wert  $\varepsilon(T_1 \oplus \dots \oplus T_k)$  von  $T_1 \oplus \dots \oplus T_k$  meist nicht zu sehr von dem “hypothetischen” Wert  $2^{k-1} \prod_{i=1}^k \varepsilon(T_i)$  abweicht, welcher sich aus dem Piling-up Lemma ergeben würde
- Daher können wir in unserem Beispiel

$$\varepsilon(T_1 \oplus \dots \oplus T_4) \approx -1/32$$

bzw.

$$\Pr[U_{0505}^4 = X_{0B00}] \approx 1/2 + (-1)^{c+1}/32$$

annehmen

## Antwort auf Frage 3

- Wir betrachten zuerst den (für den Gegner günstigen) Fall, dass die lineare Approximation  $X_a \oplus U_b^4$  an  $x \mapsto u^4$  den Bias-Wert  $1/2$  hat (d.h. alle Klartexte  $x$  führen auf einen Vektor  $u^4$  mit  $x_a \oplus u_b^4 = 0$ )
- Wir berechnen für jedes Paar  $(x, y) \in M$  das Bit  $x_a = x_5 \oplus x_7 \oplus x_8$
- Da wir  $y$  und  $\sigma_S^{-1}$  kennen, können wir zudem für jeden Subschlüssel-Kandidaten (engl. **candidate subkey**)  $(I, J)$  für den Teilschlüssel  $(K_{(2)}^5, K_{(4)}^5)$  von  $K^5$  aus dem Kryptotext  $y$  die zugehörigen  $u^4$ -Blöcke

$$u_{(2)}^4(I, J) = \sigma_S^{-1}(y_{(2)} \oplus I) \text{ und } u_{(4)}^4(I, J) = \sigma_S^{-1}(y_{(4)} \oplus J)$$

zurückrechnen (die beiden anderen  $u^4$ -Blöcke werden nicht benötigt)

- Der **richtige** Kandidat  $(I, J) = (K_{(2)}^5, K_{(4)}^5)$  besteht dann für alle Paare  $(x, y)$  in  $M$  den Gleichheitstest

$$x_a = u_b^4(I, J) \quad (*)$$

## Antwort auf Frage 3 (Fortsetzung)

- Der **richtige** Kandidat  $(I, J) = (K_{(2)}^5, K_{(4)}^5)$  erfüllt dann für alle Paare  $(x, y)$  in  $M$  den Gleichheitstest

$$x_a = u_b^4(I, J) \quad (*)$$

- Dagegen besteht von den **falschen** Kandidaten  $(I, J) \neq (K_{(2)}^5, K_{(4)}^5)$  nur etwa die Hälfte den Test  $(*)$
- Falls wir also alle Subkey-Kandidaten  $(I, J)$  dem Gleichheitstest  $(*)$  für eine hinreichend große Menge von Klartext-Kryptotext-Paaren  $(x, y)$  unterziehen, können wir den richtigen Kandidaten daran erkennen, dass er als einziger alle Tests besteht



## Antwort auf Frage 3 (Schluss)

- Nun zum Fall, dass der Bias-Wert  $\varepsilon$  der linearen Approximation  $L = X_a \oplus U_b^4$  an die Abbildung  $x \mapsto u^4$  zwar nicht gleich  $1/2$  ist, aber genügend weit von Null abweicht
- In diesem Fall besteht der richtige Kandidat  $(I, J) = (K_{(2)}^5, K_{(4)}^5)$  bei einer repräsentativen Auswahl  $M$  von Klartext-Kryptotext-Paaren ungefähr einen Anteil von  $(1/2 + \varepsilon)$  der durchgeführten Tests
- Dagegen bestehen die falschen Kandidaten etwa die Hälfte aller Tests
- Falls wir also genügend viele Paare  $(x, y)$  kennen, können wir den richtigen Kandidaten nun daran erkennen, dass die Anzahl der von ihm bestandenen Tests am weitesten von  $\|M\|/2$  abweicht

## Algorithmus LINEARATTACK

- Der Algorithmus LINEARATTACK (siehe nächste Folie) ermittelt für jeden Subkey-Kandidaten  $(I, J)$  die Anzahl  $\alpha(I, J)$  der Paare  $(x, y) \in M$ , für die er den Gleichheitstest  $x_a = u_b^4(I, J)$  besteht
- Ausgegeben wird derjenige Kandidat  $(I, J)$ , der die Abweichung der Anzahl  $\alpha(I, J)$  von  $\|M\|/2$  maximiert
- Im allgemeinen werden für eine erfolgreiche lineare Attacke circa  $t \approx c\epsilon^{-2}$  Klartext-Kryptotext-Paare benötigt
- Dabei ist  $c$  eine „kleine“ Konstante (im aktuellen Beispiel reichen  $t \approx 8000$  Paare; d.h.  $c \approx 8$ , da  $\epsilon^{-2} \approx 1024$  ist)

```

1 for $(I, J) := (0,0)$ to (F,F) do $\alpha(I, J) := 0$
2 for each $(x, y) \in M$ do
3 for $(I, J) := (0,0)$ to (F,F) do
4 $v_{(2)}^4 := I \oplus y_{(2)}$
5 $v_{(4)}^4 := J \oplus y_{(4)}$
6 $u_{(2)}^4 := \sigma_S^{-1}(v_{(2)}^4)$
7 $u_{(4)}^4 := \sigma_S^{-1}(v_{(4)}^4)$
8 if $x_5 \oplus x_7 \oplus x_8 \oplus u_6^4 \oplus u_8^4 \oplus u_{14}^4 \oplus u_{16}^4 = 0$ then
9 $\alpha(I, J) := \alpha(I, J) + 1$
10 $max := -1$
11 for $(I, J) := (0,0)$ to (F,F) do $\beta(I, J) := |\alpha(I, J) - t/2|$
12 if $\beta(I, J) > max$ then
13 $max := \beta(I, J)$
14 $maxkey := (I, J)$
15 output(maxkey)

```

## Differentielle Kryptoanalyse von SPNs

- Wie die lineare hat auch die differentielle Kryptoanalyse das Ziel, den unbekanntem Schlüssel  $K$  zu finden
- Für die Durchführung wird jedoch **frei wählbarer** Klartext benötigt
- Genauer basiert der Angriff auf einer Menge  $M$  von  $t$  **Doppelpaaren**  $(x, x^*, y, y^*)$  mit der Eigenschaft, dass  $E_K(x) = y$  und  $E_K(x^*) = y^*$  ist und alle Klartext-Paare  $(x, x^*)$  die gleiche Differenz  $x' = x \oplus x^*$  bilden

### Definition

- Seien  $u, u^* \in \{0, 1\}^l$  Eingaben für eine S-Box  $\sigma_S : \{0, 1\}^l \rightarrow \{0, 1\}^l$  und seien  $v = \sigma_S(u)$  und  $v^* = \sigma_S(u^*)$  die zugehörigen Ausgaben
- Dann heißt  $u' = u \oplus u^*$  die **Eingabedifferenz** (input-xor) und  $v' = \sigma_S(u) \oplus \sigma_S(u^*)$  die **Ausgabedifferenz** (output-xor) von  $(u, u^*)$
- Für eine vorgegebene Eingabedifferenz  $a' \in \{0, 1\}^l$  sei weiter

$$\Delta(a') = \{(u, u^*) \mid u \oplus u^* = a'\} = \{(u, u \oplus a') \mid u \in \{0, 1\}^l\}$$

die Menge aller Eingabepaare, die die Differenz  $a'$  realisieren

- Berechnen wir für alle Paare  $(u, u^*) \in \Delta(a')$  die zugehörigen Ausgabedifferenzen, so verteilen sich diese auf die  $2^{l'}$  möglichen Werte in  $\{0, 1\}^{l'}$
- Man beachte, dass im Fall einer **affinen** S-Box  $\sigma_S(u) = uA \oplus w$  alle Paare  $(u, u^*) \in \Delta(a')$  auf dieselbe Ausgabedifferenz führen:

$$\sigma_S(u) \oplus \sigma_S(u^*) = (u \oplus u^*)A = u'A = a'A$$

(hierbei ist  $A$  eine  $(l \times l')$ -Matrix und  $w \in \{0, 1\}^{l'}$  ein Vektor)

- Ist  $S$  nicht affin, können die Eingabepaare  $(u, u^*) \in \Delta(a')$  zu unterschiedlichen Ausgabedifferenzen  $\sigma_S(u) \oplus \sigma_S(u^*)$  führen
- Um einer differentiellen Kryptoanalyse widerstehen zu können, sollten die auftretenden Ausgabedifferenzen möglichst gleichmäßig verteilt sein

## Definition

- Ein **Differential** für eine S-Box  $\sigma_S : \{0, 1\}^l \rightarrow \{0, 1\}^{l'}$  ist ein Paar  $(a', b') \in \{0, 1\}^l \times \{0, 1\}^{l'}$
- Dabei heißt  $a'$  die **Eingabe-** und  $b'$  die **Ausgabedifferenz** des Differentials
- Die Anzahl der Eingabepaare  $(u, u^*)$ , die die Eingabedifferenz  $a'$  in die Ausgabedifferenz  $b'$  überführen, bezeichnen wir mit  $D(a', b')$ , d.h.

$$D(a', b') = \|\{(u, u^*) \in \Delta(a') \mid \sigma_S(u) \oplus \sigma_S(u^*) = b'\}\|$$

- Der **Weitergabequotient** (engl. **propagation ratio**) von  $S$  für ein Differential  $(a', b')$  ist

$$Q(a', b') = \frac{D(a', b')}{2^l}$$

- $Q(a', b')$  ist also die (bedingte) Wahrscheinlichkeit

$$\Pr[V' = b' | U' = a'] = \Pr[\underbrace{\sigma_S(U) \oplus \sigma_S(U^*)}_{V'} = b' | \underbrace{U \oplus U^*}_{U'} = a'],$$

dass zwei zufällig gewählte Eingaben  $U$  und  $U^*$  die Ausgabedifferenz  $V' = b'$  erzeugen, wenn sie die Eingabedifferenz  $U' = a'$  haben

# Differentielle Kryptoanalyse von SPNs

## Beispiel

- Betrachten wir die S-Box  $\sigma_S : \{0, 1\}^4 \rightarrow \{0, 1\}^4$  aus obigem Beispiel, so erhalten wir für  $a' = 1011$  folgende Menge von Eingabepaaren

$$\Delta(a') = \{(0000, 1011), \dots, (1111, 0100)\},$$

- Diese führen auf die folgenden Ausgabedifferenzen  $v' = \underbrace{\sigma_S(u)}_v \oplus \underbrace{\sigma_S(u^*)}_{v^*}$ :

| $u$  | $u^*$ | $v$  | $v^*$ | $v'$ |
|------|-------|------|-------|------|
| 0000 | 1011  | 1110 | 1100  | 0010 |
| 0001 | 1010  | 0100 | 0110  | 0010 |
| 0010 | 1001  | 1101 | 1010  | 0111 |
| 0011 | 1000  | 0001 | 0011  | 0010 |
| 0100 | 1111  | 0010 | 0111  | 0101 |
| 0101 | 1110  | 1111 | 0000  | 1111 |
| 0110 | 1101  | 1011 | 1001  | 0010 |
| 0111 | 1100  | 1000 | 0101  | 1101 |

| $u$  | $u^*$ | $v$  | $v^*$ | $v'$ |
|------|-------|------|-------|------|
| 1000 | 0011  | 0011 | 0001  | 0010 |
| 1001 | 0010  | 1010 | 1101  | 0111 |
| 1010 | 0001  | 0110 | 0100  | 0010 |
| 1011 | 0000  | 1100 | 1110  | 0010 |
| 1100 | 0111  | 0101 | 1000  | 1101 |
| 1101 | 0110  | 1001 | 1011  | 0010 |
| 1110 | 0101  | 0000 | 1111  | 1111 |
| 1111 | 0100  | 0111 | 0010  | 0101 |



## Beispiel (Fortsetzung)

- Die Ausgabedifferenz  $b' = 0010$  kommt also  $D(a', 0010) = 8$  Mal vor, während die Differenzen 0101, 0111, 1101 und 1111 je zwei Mal und die übrigen Werte überhaupt nicht vorkommen (siehe Zeile B in nachfolgender Tabelle)
- Führen wir diese Berechnungen für jede der  $2^4 = 16$  Eingabedifferenzen  $a' \in \{0, 1\}^4$  aus, so erhalten wir die folgenden Werte für die Häufigkeiten  $D(a', b')$  der Ausgabedifferenz  $b'$  bei Eingabedifferenz  $a'$  ( $a'$  und  $b'$  sind hexadezimal dargestellt):

## Beispiel (Schluss)

- Die Tabelle zeigt die Häufigkeiten  $D(a', b')$  der Ausgabedifferenzen  $b'$  der S-Box  $S$  für eine Auswahl von Eingabedifferenzen  $a' \in \{0, 1\}^4$

|      | $b'$ |   |   |   |   |   |   |   |   |   |   |   |   |   |   |   |
|------|------|---|---|---|---|---|---|---|---|---|---|---|---|---|---|---|
| $a'$ | 0    | 1 | 2 | 3 | 4 | 5 | 6 | 7 | 8 | 9 | A | B | C | D | E | F |
| 0    | 16   | 0 | 0 | 0 | 0 | 0 | 0 | 0 | 0 | 0 | 0 | 0 | 0 | 0 | 0 | 0 |
| 1    | 0    | 0 | 0 | 2 | 0 | 0 | 0 | 2 | 0 | 2 | 4 | 0 | 4 | 2 | 0 | 0 |
| 2    | 0    | 0 | 0 | 2 | 0 | 6 | 2 | 2 | 0 | 2 | 0 | 0 | 0 | 0 | 2 | 0 |
| 3    | 0    | 0 | 2 | 0 | 2 | 0 | 0 | 0 | 0 | 4 | 2 | 0 | 2 | 0 | 0 | 4 |
| ⋮    |      |   |   |   |   |   |   | ⋮ |   |   |   |   |   |   |   |   |
| B    | 0    | 0 | 8 | 0 | 0 | 2 | 0 | 2 | 0 | 0 | 0 | 0 | 0 | 2 | 0 | 2 |
| ⋮    |      |   |   |   |   |   |   | ⋮ |   |   |   |   |   |   |   |   |
| F    | 0    | 2 | 0 | 0 | 6 | 0 | 0 | 0 | 0 | 4 | 0 | 2 | 0 | 0 | 2 | 0 |

- Wir versuchen nun, für bestimmte S-Boxen  $S_i^f$  Differentiale  $(a', b')$  zu finden, so dass die Eingabedifferenz dieser Differentiale mit der (permutierten) Ausgabedifferenz in der vorhergehenden Runde übereinstimmt (siehe nächste Folie)
- Falls dies gelingt, können wir diese Differentiale zu einer so genannten **Differentialspur** (differential trail) zusammensetzen
- Falls die ausgewählten S-Boxen  $S_i^f$  (diese werden auch als **aktiv** bezeichnet) den zugeordneten Differentialen  $(a'_i, b'_i)$  unabhängig voneinander folgen, lässt sich der Weitergabequotient der Spur als das Produkt der Weitergabequotienten der beteiligten Differentiale berechnen
- Obwohl die Unabhängigkeit i.a. nicht gegeben ist, weicht der tatsächliche Wert in praktischen Anwendungen kaum von diesem hypothetischen Wert ab

## Beispiel

- Betrachten wir das SPN  $SP$  aus dem vorigen Beispiel, so lassen sich folgende Differentiale zu einer Spur kombinieren:
  - für  $S_2^1$  das Differential  $(1011, 0010) = (B, 2)$  mit  $Q(B, 2) = 1/2$
  - für  $S_3^2$  das Differential  $(0100, 0110) = (4, 6)$  mit  $Q(4, 6) = 3/8$  und
  - für  $S_2^3$  und  $S_3^3$  das Differential  $(0010, 0101) = (2, 5)$  mit  $Q(2, 5) = 3/8$
- Gemäß dieser Spur führt also die Klartextdifferenz

$$x' = 0000\ 1011\ 0000\ 0000$$

mit hypothetischer Wahrscheinlichkeit  $1/2(3/8)^3$  auf die Differenz

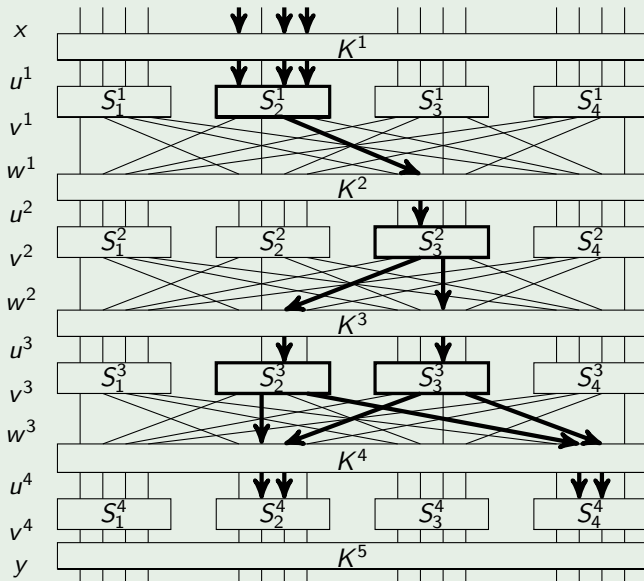
$$(v^3)' = 0000\ 0101\ 0101\ 0000,$$

und diese führt mit Wahrscheinlichkeit 1 auf die Differenz

$$(u^4)' = 0000\ 0110\ 0000\ 0110$$

- Das Differential  $(a', b') = (0000\ 1011\ 0000\ 0000, 0000\ 0110\ 0000\ 0110)$  für die Abbildung  $x \mapsto u^4$  hat also einen hypothetischen Weitergabequotienten von  $\varepsilon = Q(a', b') = 1/2(3/8)^3 = 27/1024 \approx 0,026$

## Beispiel (Fortsetzung)



## Differentielle Kryptoanalyse von SPNs

- Sei nun  $(a', b')$  ein Differential für die Abbildung  $x \mapsto u^4$  mit einem hypothetischen Weitergabequotienten  $\varepsilon = Q(a', b')$
- Weiter sei  $M$  eine Menge von  $t$  Doppelpaaren  $(x, x^*, y, y^*)$ , die
  - alle mit dem gleichen unbekanntem Schlüssel  $K$  erzeugt wurden und
  - zusätzlich die Bedingung  $x' = x \oplus x^* = a'$  erfüllen
- Dann wird ca. ein  $\varepsilon$ -Anteil dieser Paare der gewählten Differentialspur folgen (solche Paare werden als **richtige Doppelpaare** bezeichnet)
- Alle richtigen Paare führen unter  $K$  auf Blöcke  $u^4$  und  $(u^4)^*$  mit
 
$$(u^4)' = u^4 \oplus (u^4)^* = b'$$
- Ein Großteil der **falschen** Doppelpaare lässt sich daran erkennen, dass die Kryptotext-Differenzen  $y'$  nicht die erwarteten  $0'$ -Blöcke aufweisen (im aktuellen Beispiel sind dies die Blöcke  $y'_{(1)}$  und  $y'_{(3)}$ )
- Es empfiehlt sich, diese Doppelpaare auszufiltern, da sie (wie alle falschen Doppelpaare) nur „Hintergrundrauschen“ erzeugen und somit die Bestimmung des Schlüssels eher behindern

# Differentielle Kryptoanalyse von SPNs

## Beobachtung

- Für die Ausgabe  $v_{(i)}^N$  der S-Box  $S_i^N$  in Runde  $N$  gilt

$$v_{(i)}^N = y_{(i)} \oplus K_{(i)}^{N+1}$$

- und die Eingabe  $u_{(i)}^N$  der S-Box  $S_i^N$  in Runde  $N$  ist

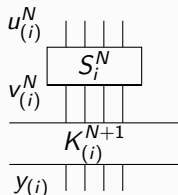
$$u_{(i)}^N = \sigma_S^{-1}(v_{(i)}^N) = \sigma_S^{-1}(y_{(i)} \oplus K_{(i)}^{N+1})$$

- Falls die S-Box  $S_i^N$  nicht affin ist, hängt die aus den Kryptotextblöcken  $y_{(i)}$  und  $(y_{(i)})^*$  zurückgerechnete Eingabedifferenz

$$(u_{(i)}^N)' = u_{(i)}^N \oplus (u_{(i)}^N)^* = \sigma_S^{-1}(y_{(i)} \oplus K_{(i)}^{N+1}) \oplus \sigma_S^{-1}((y_{(i)})^* \oplus K_{(i)}^{N+1})$$

von dem Schlüsselblock  $K_{(i)}^{N+1}$  ab

- Ist also  $(x, x^*, y, y^*)$  ein richtiges Paar, so sind neben  $y_{(i)}$  und  $y_{(i)}^*$  auch die Eingabedifferenzen  $(u_{(i)}^N)' = b'_{(i)}$  von  $S_i^N$  bekannt



# Differentielle Kryptoanalyse von SPNs

## Beobachtung (Fortsetzung)

- Ist also  $(x, x^*, y, y^*)$  ein richtiges Paar, so sind neben  $y_{(i)}$  und  $y_{(i)}^*$  auch die Eingabedifferenzen  $(u_{(i)}^N)' = b'_{(i)}$  von  $S_i^N$  bekannt

- Folglich kommen nur solche Subkey-Werte  $J$  für  $K_{(i)}^{N+1}$  infrage, für die

$$\sigma_S^{-1}(y_{(i)} \oplus J) \oplus \sigma_S^{-1}(y_{(i)}^* \oplus J) = b'_{(i)} \quad (*)$$

ist

- Erfüllt  $J$  Gleichung (\*), so sagen wir auch,  $J$  ist mit dem Doppelpaar  $(x, x^*, y, y^*)$  **konsistent**

- Gemäß dieser Beobachtung lassen sich mit jedem richtigen Doppelpaar einige Kandidaten für den Rundenschlüsselblock  $K_{(i)}^{N+1}$  ausschließen
- Ist  $M$  hinreichend groß, lässt sich der richtige Schlüsselblock daran erkennen, dass er mit den meisten Doppelpaaren konsistent ist



# Differentielle Kryptoanalyse von SPNs

Wir führen nun mit der Spur aus obigem Beispiel einen Angriff mittels differentieller Analyse auf das SPN  $SP$  durch

## Beispiel

- Der Algorithmus DIFFERENTIALATTACK (siehe nächste Folie) bestimmt für jeden Subschlüssel-Kandidaten  $(I, J)$  für  $(K_{(2)}^5, K_{(4)}^5)$  die Anzahl  $\gamma(I, J)$  aller Doppelpaare  $(x, x^*, y, y^*)$  in  $M$ , die mit  $(I, J)$  konsistent sind
- Dabei bleiben alle als falsch erkannten Paare unberücksichtigt (siehe Zeile 3)
- Ausgegeben wird der Kandidat  $(I, J)$  mit dem größten  $\gamma$ -Wert
- Im allgemeinen werden für eine erfolgreiche differentielle Attacke circa  $t \approx c\varepsilon^{-1}$  Klartext-Kryptotext-Doppelpaare benötigt
- Dabei ist  $\varepsilon$  der Weitergabequotient der Spur und  $c$  eine Konstante (im Beispiel reichen  $t \approx 80$  Doppelpaare, wobei  $\varepsilon^{-1} \approx 38$  ist, d.h.  $c \approx 2$ )  $\triangleleft$

```

1 for $(I, J) := (0,0)$ to (F,F) do $\gamma(I, J) := 0$
2 for each $(x, x^*, y, y^*) \in M$ do
3 if $y_{(1)} = y_{(1)}^*$ und $y_{(3)} = y_{(3)}^*$ then
4 for $(I, J) := (0,0)$ to (F,F) do
5 $v_{(2)}^4 := I \oplus y_{(2)}$; $v_{(4)}^4 := J \oplus y_{(4)}$
6 $u_{(2)}^4 := \sigma_S^{-1}(v_{(2)}^4)$; $u_{(4)}^4 := \sigma_S^{-1}(v_{(4)}^4)$
7 $(v_{(2)}^4)^* := I \oplus y_{(2)}^*$; $(v_{(4)}^4)^* := J \oplus y_{(4)}^*$
8 $(u_{(2)}^4)^* := \sigma_S^{-1}((v_{(2)}^4)^*)$; $(u_{(4)}^4)^* := \sigma_S^{-1}((v_{(4)}^4)^*)$
9 $(u_{(2)}^4)' := u_{(2)}^4 \oplus (u_{(2)}^4)^*$; $(u_{(4)}^4)' := u_{(4)}^4 \oplus (u_{(4)}^4)^*$
10 if $(u_{(2)}^4)' = 0110$ und $(u_{(4)}^4)' = 0110$ then $\gamma(I, J) := \gamma(I, J) + 1$
11 $max := -1$
12 for $(I, J) := (0,0)$ to (F,F) do
13 if $\gamma(I, J) > max$ then
14 $max := \gamma(I, J)$; $maxkey := (I, J)$
15 output($maxkey$)

```